

General Disclaimer

One or more of the Following Statements may affect this Document

- This document has been reproduced from the best copy furnished by the organizational source. It is being released in the interest of making available as much information as possible.
- This document may contain data, which exceeds the sheet parameters. It was furnished in this condition by the organizational source and is the best copy available.
- This document may contain tone-on-tone or color graphs, charts and/or pictures, which have been reproduced in black and white.
- This document is paginated as submitted by the original source.
- Portions of this document are not fully legible due to the historical nature of some of the material. However, it is the best reproduction available from the original submission.

AN/ASA-CR-174/127



SECRETARIA DE PLANEJAMENTO DA PRESIDÊNCIA DA REPÚBLICA
CONSELHO NACIONAL DE DESENVOLVIMENTO CIENTÍFICO E TECNOLÓGICO

E85-10036

RECEIVED BY
NASA STI FACILITY
DATE: 10-25-89
DOCID NO. 00819419
PROCESSED BY
 NASA STI FACILITY
 USA - SDS AIAA

(E85-10036 NASA-CR-174127) EVALUATION OF
CRITERIA FOR SELECTING THE SPECTRAL
ATTRIBUTES OF DIGITAL LANSAT MSS IMAGERY
FOR DISCRIMINATING LITHOLOGICAL UNITS IN THE
LOWER (Instituto de Pesquisas Espaciais, São G3/43

N85-12415

Unclass
00036



INSTITUTO DE PESQUISAS ESPACIAIS

1. Publicação nº <i>INPE-3248-PRE/591</i>	2. Versão	3. Data <i>Agosto, 1984</i>	5. Distribuição <input type="checkbox"/> Interna <input checked="" type="checkbox"/> Externa <input type="checkbox"/> Restrita
4. Origem <i>DSR/DDP</i>	Programa <i>COMEA</i>		
6. Palavras chaves - selecionadas pelo(s) autor(es) <i>DISCRIMINAÇÃO LITOLOGICA</i> <i>IMAGENS LANDSAT</i> <i>SENSORES REMOTOS</i> <i>GEOLOGIA</i> <i>SELEÇÃO DE ATRIBUTOS</i>			
7. C.D.U.: 528.711.7:552(814.22)			
8. Título	<i>INPE-3248-PRE/591</i>		
<i>AVALIAÇÃO DE CRITÉRIOS DE SELEÇÃO DE ATRIBUTOS ESPECTRAIS DE IMAGENS DIGITAIS MSS-LANDSAT, EM DISCRIMINAÇÕES LITOLOGICAS NO BAIJO VALE DO RIO CURAÇÁ, BA</i>		10. Páginas: 33	
		11. Última página: 32	
		12. Revisada por	<i>Luciano Vieira Dutra</i>
9. Autoria <i>Waldir Renato Paradella</i> <small>Original photography may be purchased from EROS Data Center Sioux Falls, SD 57198</small>		13. Autorizada por	<i>Nelson de Jesus Paradella</i> Assinatura responsável <i>Waldir Renato Paradella</i> Diretor Geral
14. Resumo/Notas <i>Foi investigado o uso de critérios de seleção de atributos espectrais em imagens MSS-LANDSAT, visando a indicação de subconjuntos de bandas para composições coloridas que melhor detectassem e discriminassem litologias no Baixo Vale do Rio Curaçá, Bahia. Dois critérios de seleção de atributos com Distâncias JM foram utilizados na pesquisa, baseados em amostragens dos "pixels" mais representativos de classes temáticas relacionadas às unidades litológicas da área: a) maximização da distância média entre as Distâncias JM² para todos os pares de classes; b) maximização da Distância JM² mínima entre os pares de classes. A análise se atende somente aos dados digitais MSS-LANDSAT da época seca, sendo investigadas três situações: a) seleção dos três melhores canais, considerando os quatro canais originais MSS (bandas 4, 5, 6 e 7); b) seleção dos três melhores canais, considerando os seis canais "MSS-ratios" (bandas 4/5, 4/6, 4/7, 5/6, 5/7 e 6/7) e c) seleção dos três melhores canais de composição "híbrida", levando em conta as 4 bandas originais e as 6 "ratios". Cada conjunto selecionado, foi visualmente avaliado segundo índices de detecção e discriminação, tendo-se por base as disposições espaciais conhecidas das unidades litológicas. A pesquisa mostrou que o produto híbrido (canais 4, 5/7 e 7 e cores verde, azul e vermelha, respectivamente) e a Composição Colorida Normal (canais 4, 5 e 7 e cores azul, verde e vermelha, respectivamente) apresentaram os melhores desempenhos, ao passo que os produtos "ratios" foram os que mostraram grandes ambiguidades.</i>			
15. Observações <i>Submetido para publicação na Revista Brasileira de Geofísica.</i>			

ABSTRACT

The use of spectral attributes criterions was investigated, based on measures of statistical distance of separability between thematic classes in MSS digital LANDSAT imagery, in order to select the best subsets of channels in composite colors for the detection and discrimination of lithological units in the Lower Valley of Curaçá River, State of Bahia. Two selection criterions were used based on representative sampling pixels of thematic classes related to lithologic units: a) maximization of the average distance among the JM² Distance for all pairs of classes, b) maximization of minimum JM² Distance among the pairs of classes. The analysis was restricted only to the digital MSS CCT from dry season and three situations were investigated: a) selection of the three best channels, considering all of the original bands (channels 4, 5, 6 and 7); b) selection of the three best bands, considering the six MSS band-ratios (channels 4/5, 4/6, 4/7, 5/6, 5/7 and 6/7); and c) selection of the three best bands in a hybrid approach (the four original bands and the six ratios). A visual analysis was done on color composites images using the selected sets and based on detection and discrimination indices of ranking. The research showed that the hybrid product (bands 4, 5/7 and 7 with green, blue and red, respectively) and the Normal Color Composite (bands 4, 5 and 7 with blue, green and red colors, respectively) had the best performance. The ratio products, on the other hand presented great ambiguities.

ÍNDICE GERAL

	<u>Pág.</u>
INTRODUÇÃO.....	04
Fundamentação Teórica	06
A Área de Estudo	08
RESULTADOS	10
CONCLUSÕES	16
AGRADECIMENTOS	16
REFERÊNCIAS BIBLIOGRÁFICAS	16

INTRODUÇÃO

• Composições coloridas de imagens MSS do satélite LANDSAT* têm sido usadas com frequência em trabalhos de fotointerpretação geológico, em especial em discriminações litológicas. A técnica é relativamente simples e consiste na associação das cores primárias (azul, verde e vermelha) a três das quatro bandas disponíveis originalmente (MSS 4, MSS 5, MSS 6, MSS 7), ou suas transformadas (MSS 4/5; MSS 4/6; MSS 4/7; MSS 5/6; MSS 5/7; MSS 6/7; 19, 29 e 39 Componentes Principais, etc.). O sucesso deste procedimento está na facilidade de visualização, em um único produto, das variações de reflectância do terreno, através das nuances e gradações tonais registradas na composição colorida. Isto, entretanto, implica um compromisso evidente entre os canais selecionados para a composição colorida e o resultado conseguido na interpretação visual.

Obviamente, o ideal para assegurar que a interpretação final tenha sido fundamentada nas informações contidas em todos os canais disponíveis seria, naturalmente, analisar todas as combinações de canais possíveis. Isto, de certa forma, é impraticável pelo custo computacional envolvido em gerar e documentar todas as composições e pelo tempo de análise visual requerido.

Como exemplo, considere-se que o número de interações necessárias na escolha dos três melhores canais para composições coloridas, à partir dos seis canais "ratios"** do MSS/LANDSAT, seja dado pela relação:

* Detalhes sobre o Programa LANDSAT podem ser vistos no trabalho de Paradella e Vitorello, 1982.

** Imagens resultante da divisão digital entre bandas, ponto à ponto. O algoritmo usado nesta transformação é $L_s = \frac{L_1}{L_2} + b$, onde L_s = valor digital do "pixel" resultante, L_1 e L_2 são os valores nos dois canais envolvidos na divisão, e a e b são fornecidos pelo usuário definindo ganho e "offset".

$$\left[\begin{matrix} N \\ n \end{matrix} \right] \triangleq \frac{N!}{n! (N-n)!}$$

onde:

N = população dos canais originais (canais 4/5, 4/6, 4/7, 5/6, 5/7, 6/7),

n = subconjunto requerido,

ou:

$$\left[\begin{matrix} 6 \\ 3 \end{matrix} \right] = \frac{6!}{3! (6-3)!} = 20 \text{ interações.}$$

Isto produz 20 interações possíveis das bandas originais sem o uso de permutações inversas. É óbvio que o processo de análise visual e a extração desta quantidade de informação torna-se inviável e ineficiente. Além do mais, muitas destas imagens seriam provavelmente redundantes (Podwysochi et alii, 1977).

A alternativa investigada na pesquisa baseou-se na utilização de critérios de seleção de atributos espectrais, a partir de medidas de distâncias de separabilidade entre classes, visando a indicação de subconjuntos de canais para composições coloridas que melhor discriminasse diferentes litologias presentes em uma área de 800 km² no Baixo Vale do Rio Curaçá, BA.

Vários são os critérios de medidas de distâncias estatísticas disponíveis na literatura, destacando-se a Divergência, a Divergência Transformada, a Distância de Battacharaya e a Distância de Jeffreys-Matusita (JM), entre outras. Maiores detalhes sobre este assunto podem ser vistos nos trabalhos de Swain e King (1973).

Swain e King (1973) concluíram que o critério da Distância JM apresenta algumas vantagens em relação aos outros critérios na previsão correta de melhores canais para reconhecimento multiclasses. Pormenores sobre a utilização de critérios de seleção de atributos de canais MSS/LANDSAT podem ser encontrados nos trabalhos de Dutra(1982) e Ii et alii (1982).

Fundamentação Técnica

De modo genérico, cada classe temática em uma imagem (por exemplo, a classe anfíbolito) pode ser caracterizada por uma função densidade de probabilidade $p(x/\omega_i)^*$, assumindo condições de distribuição gaussiana dos níveis de cinza (valores digitais) que representam a classe.

Para o caso de uma dimensão ou banda, a função densidade de probabilidade é dada, segundo Swain (1978), por:

$$p(x/\omega_i) = \frac{1}{(2\pi)^{1/2} \cdot \sigma_i} \exp \left[-\frac{1}{2} \cdot \frac{(x-\mu_i)^2}{\sigma_i^2} \right],$$

onde:

exp. = e (base dos logaritmos naturais) elevado a potência indicada,

μ_i = média ou valor médio dos níveis de cinza para a classe,

σ_i^2 = variância das medidas na classe.

Na prática, μ_i e σ_i^2 são estimadas por amostragens.

No caso de dois ou mais canais, a função densidade normal multivariada pode ser estimada através dos valores de média e matrizes de covariância para as classes envolvidas, pela equação:

* $p(x/\omega_i)$ = denota a distribuição dos "pixels" x pertencentes à classe ω_i

$$p(x/w_i) = \frac{1}{(2\pi)^{n/2} \cdot |\Sigma_i|^{1/2}} \exp. \left[-\frac{1}{2} \cdot (x-\mu_i)^T \cdot \Sigma_i^{-1} (x-\mu_i) \right],$$

onde:

$$x = \begin{bmatrix} x_1 \\ x_2 \\ \vdots \\ x_n \end{bmatrix}, \quad \mu_i = \begin{bmatrix} \mu_{i1} \\ \mu_{i2} \\ \vdots \\ \mu_{in} \end{bmatrix}, \quad \Sigma_i = \begin{bmatrix} \sigma_{i11} & \sigma_{i12} & \dots & \sigma_{i1n} \\ \sigma_{i21} & \sigma_{i22} & \dots & \sigma_{i2n} \\ \vdots & \vdots & & \vdots \\ \sigma_{in_1} & \sigma_{in_2} & \dots & \sigma_{in_m} \end{bmatrix}$$

ou:

x = vetor dado (valores de cinza da classe nos canais 1, 2 ... n),

μ_i = vetor média (valores de média da classe w_i nos canais 1, 2, ... n),

Σ_i = matriz de covariância para a classe w_i , sendo σ_{i21} a covariância entre os canais 2 e 1 para a classe,

$|\Sigma_i|$ = determinante da matriz de covariância Σ_i ,

Σ_i^{-1} = inversa de Σ_i ,

$(x-\mu_i)^T$ = transposta do vetor $(x-\mu_i)$.

Na prática os vetores média e matriz de covariância para cada classe são estimados por amostragens.

A Distância JM está vinculada ao produto das funções de densidade de probabilidade das classes pela relação:

$$d_{JM^2_{ij}} = 2(1-p),$$

onde:

$$P = \int_{-\infty}^{+\infty} (p(x/w_i) \cdot p(x/w_j))^{1/2} dx.$$

Generalizando, a Distância JM é uma medida da separabilidade média entre duas funções densidade de probabilidade, onde para duas classes, w_i e w_j , o produto integrado das funções densidade de probabilidade de w_i e w_j será proporcionalmente maior, à medida que as duas funções se superponham e diminuam a separabilidade entre classes. Os casos extremos em tal raciocínio seriam: 1) $p(x/w_i) = p(x/w_j)$; $w_i = w_j$, i.e., as classes não se separariam onde $d_{JM^2} = 0$, e 2) quando as classes estivessem bem separadas e d_{JM^2} tenderia a 2,0.

Neste esquema, quando se dispõe de duas classes e M canais, a seleção do melhor conjunto n de M , no qual a separabilidade entre as duas classes é máxima, é baseada na escolha dos n canais de M para os quais a Distância JM^2 é maior. Quando se defronta com mais de duas classes e M canais, costuma-se utilizar dois critérios seletivos para a escolha do subconjunto n : 1) um subconjunto n será escolhido, no qual a distância média entre as Distâncias JM^2 , para todos os pares de classes, é maximizada e 2) será considerado o subconjunto n , que contenha a maior das Distâncias JM^2 mínimas entre os pares de classes.

A Área de Estudo

A área teste escolhida está situada no Baixo Vale do Rio Curaçá, no nordeste da Bahia, com extensão aproximada de 800 km² e compõe um domínio pediplanizado, de clima semi-árido. A densidade de afloramentos é baixa e os solos refletem com frequência as rochas subjacentes. Paradella (1983) reconhece 5 grandes grupos de solos na área, vinculados ao substrato litológico: Bruno Não-Calcicos (gnaissos, granulitos/migmatitos), Planossolos (gnaissos felsicos, micaxistos), Latossolos (calcários, marmores), Litólicos/Cambissolos Litólicos (filitos/filitos-carbonáticos) e Vertissolos (metamafitos/metaultramafitos). A

vegetação na região é marcada por espécies de caatinga, predominantemente caducifólias, sendo observados certos controles geobotânicos representados por seletividade de flora e variações de densidade de cobertura vegetal em relação ao substrato rochoso (Paradella, 1983).

No contexto geotectônico, a região Pré-cambriana norte da Bahia é caracterizada por um cinturão móvel, com marcante tendência de foliação N-S, desenvolvido principalmente durante o Proterozóico Inferior, na borda oriental do suposto craton arqueano do Paramirim (Almeida, 1981). O Vale do Curaçá inclui partes desta faixa móvel e áreas arqueanas gnaissicas-granulíticas, estratigraficamente conhecidas como Super-Grupo Caraíba (Ladeira e Brockes Jr., 1969), ou Complexo Caraíba (Jardim de Sá et alii, 1976). Tal domínio, denotando estruturas Pré-Brasilianas, é cruzado transversalmente no NNE da região por sequências supracrustais, deformadas e metamorfisadas, em menor grau metamórfico, durante o evento Brasiliano, constituindo a parte ocidental do Sistema de Dobramentos Sergipano, inserido na Província Borborema (Almeida et alii, 1981).

Do ponto de vista litológico, a área teste é constituída em grande parte por unidades granulíticas (biotita-hiperstênio gnaisses), migmatíticas (estruturas "stromatic" e "folded") e gnaissicas (biotita-gnaisses, quartzo-feldspato gnaisses, quartzo-feldspato granada-gnaisses), com variadas intercalações de corpos descontínuos de cárlico-silicatadas, metamafitos/metaultramafitos e lentes de quartzitos ferruginosos. Um sienito intrusivo constitui a Serra Redonda, bordada por faixa de cataclasitos e augen-gnaisses. Sobreposta discordantemente a estas unidades, uma sequência metassedimentar, de baixo grau metamórfico, ocorre representada por filitos, micaxistos, mármore e metacalcários (Jordan, 1968; Delgado e Souza, 1975; Paradella, 1983). A Figura 1 sintetiza a distribuição espacial das unidades litológicas na área que serve de referência para os propósitos da pesquisa.

FIGURA 1

Todo o processamento digital de imagens foi desenvolvido pelo autor no L.T.I.D. (Laboratório de Tratamento de Imagens Digitais) do INPE/CNPq, em São José dos Campos/SP, utilizando o Analisador GE-Image-100, com um computador PDP 11/45 (General Electric, 1975). A análise se restringiu a fitas magnéticas da época seca (23/nov/1978) com 54° de elevação e 112° de Azimute solares.

RESULTADOS

Na Figura 2 são mostradas as localizações de áreas de amostragens para 14 classes temáticas do Baixo Vale do Curaçá. A escolha deste número de classes foi determinada pelas limitações atuais do Sistema SELATR - Seleção de Atributos (Ribeiro et alii, 1982), que comporta no máximo 15 classes e 50 áreas de amostragens para a estimativa dos parâmetros de cada classe. Na Tabela 1 são indicadas as características superficiais para as áreas de amostragens das classes, relativas à verificação de campo efetuada em dez/jan. de 1982; i.e., época chuvosa. Neste aspecto, convém salientar que a influência da cobertura vegetal nas imagens do período seco deve ser bem mais atenuada face a ausência de biomassa verde, principal causa do mascaramento das respostas espectrais diagnósticas de solos e rochas, na porção visível e infravermelho próximo de atuação do MSS/LANDSAT (Siegal e Goetz, 1977).

FIGURA 2

TABELA 1

Dois cuidados importantes foram tomados na escolha destas amostras. A fim de evitar casos em que a matriz de Covariância possa ser singular (seu determinante = zero e sua inversa não possa ser calculada, tornando o cálculo computacional impossível), é necessário que um número mínimo de pontos de amostragens das classes seja estabelecido e rigorosamente seguido. Segundo Swain (1978), este valor na prática pode ser dado por $10n$, sendo n o número de canais ou dimensões

envolvidos. Na pesquisa, foi utilizado um número mínimo de 40 pontos de amostragens para cada classe; portanto, acima dos 30 pontos mínimos recomendados para a escolha de 3 canais para composições coloridas, usando-se as cores primárias. Esta imposição inviabilizou, entretanto, a amostragem de alvos com dimensões reduzidas como, por exemplo, corpos de mafitos-ultramafitos e cárneo-silicatados.

O segundo cuidado tomado, esteve ligado à obrigatoriedade de não se violar a suposição inherente ao comportamento gaussiano dos níveis de brilho para as classes, assumido no uso da seleção de atributos. Neste sentido, analisou-se a distribuição de frequências dos "pixels" das amostragens de classe temática, em cada uma das 10 situações consideradas, i.e., canais MSS 4, 5, 6, 7, 4/5, 4/6, 4/7, 5/5, 5/7, 6/7, a fim de assegurar a presença de distribuições normais nos dados de entrada do sistema SELATR.

A análise se ateve aos dados MSS/LANDSAT da estação seca, sendo investigadas três situações: a) seleção dos três melhores canais, considerando os canais 4, 5, 6 e 7; b) seleção dos três melhores canais, considerando os canais "ratios" (4/5, 4/6, 4/7, 5/6, 5/7 e 6/7); e c) seleção dos três melhores canais, considerando os canais originais e os "ratios" (4, 5, 6, 7, 4/5, 4/6, 4/7, 5/6, 5/7, e 6/7).

Para cada conjunto selecionado, foram construídas composições coloridas com as 3 cores primárias no vídeo de TV do GE Image-100 e documentadas fotograficamente. Os produtos obtidos tiveram seus desempenhos visualmente avaliados em discriminações das litologias alcançadas. Nas Tabelas 2, 3 e 4 são apresentados os resultados fornecidos pelo sistema SELATR para as situações investigadas.

TABELAS 2, 3 e 4

Pela Tabela 2, nota-se que a escolha dos três melhores canais, entre os quatro originais, apenas mostrou discrepância nas ba-

das do infravermelho, sendo que pelo primeiro critério JM^a foi indicada a banda MSS 7, enquanto pelo segundo critério JM^a a escolha recaiu na banda MSS 6.

A composição falsa-cor, normalmente usada em trabalhos de discriminação litológica (Blodget et alii, 1978) ajustar-se-ia ao primeiro critério (Tabela 2). Pelos dados da Tabela 3, os melhores canais "ratios" seriam: 4/7, 4/5 e 5/7 (primeiro critério) e 4/7, 4/6 e 6/7 (segundo critério). A análise destes resultados indica que apenas o "ratio" 4/7 foi escolhido pelos dois critérios e que, pelos critérios de seleção de atributos empregados, em nenhuma ordenação foi indicada a composição de "ratios" 4/5, 5/6 e 6/7 para composições coloridas, muito utilizada em literatura para propósitos de mapeamento geológico (Rowan et alii, 1974; Blodget et alii, 1978).

Em relação aos Híbridos (Tabela 4), as combinações indicadas foram distintas pelos dois critérios, sendo que apenas a banda 4 participou simultaneamente (canais 4, 7 e 5/7 pelo primeiro critério e canais 4, 6 e 4/6, pelo segundo critério).

Procurando-se avaliar o significado destes resultados, foi realizada uma avaliação visual de desempenho dos canais originais e "ratios" na discriminação litológica. A avaliação visual dos produtos fotográficos*, ampliadas na escala 1:100.000 do vídeo do GE-Image-100, foi desenvolvida independentemente por três fotointérpretes, a fim de evitar subjetividade nas análises.

Treze das quatorze classes temáticas da Figura 2(a classe quartzito ferruginoso, situada na borda ocidental da área não teve

* Cada canal foi previamente realizados por Ampliação Linear de Contraste para melhoria de contraste entre os níveis de cinza. O algoritmo usado nesta transformação é $L_s = a L_e + b$, onde L_s = valor digital do "pixel" de saída, L_e = valor do "pixel" original e a e b são ganho e "offset", respectivamente.

toda sua extensão ampliada em alguns produtos, sendo desconsiderada na fotoanálise) foram analisadas segundo dois índices:

a) Índice de detecção (Id) = denota a capacidade do realce em detectar espacialmente a classe de interesse ou, em outras palavras, indica a potencialidade do produto realçado em individualizar espacialmente as treze classes consideradas. Este índice foi expresso percentualmente por:

$$\begin{aligned} 13 \text{ classes detectáveis} &= 100\%, \\ n \text{ classes detectáveis} &= Id, \quad Id = \frac{n \times 100}{13} \end{aligned}$$

b) Índice de separabilidade (Is) = indica a capacidade de separabilidade entre classes nos realces, sendo baseado nas discrepâncias de brilho visualmente perceptíveis. O cálculo da percentagem para este índice foi expresso por:

$$\begin{aligned} 156 (12 \times 13 \text{ ou realce ótimo}) &= 100\%, \\ n \text{ calculado} &= Is, \quad Is = \frac{n \cdot 100}{156} \end{aligned}$$

O valor n calculado representa, portanto, o desempenho de separabilidade de cada produto, sendo dado pelo somatório da separabilidade entre classes, i.e., corresponde à soma da separabilidade de cada classe em relação às outras restantes, considerando-se todas as classes detectadas no produto analisado. Os valores de Id e Is para os canais originais e os "ratios" são vistos em parte da Tabela 5.

TABELA 5

A análise dos dados da Tabela 5 indica que dos quatro canais originais, os canais 7, 4 e 5 nesta sequência são os que apresentam visualmente melhor desempenho médio em discriminação litológica na área, segundo as treze classes consideradas. Tais conclusões são coincidentes com o primeiro critério de distância JM (Tabela 2). Em relação aos "ratios", a análise visual indicou o canal 5/7 como o de melhor desempenho médio, seguido pelo canal 4/5 e em terceiro pelo canal

6/7, que muito pouca diferença teria dos canais 4/7 e 4/6, todos com iguais índices de detecção ($Id = 69,23\%$) e pequenas variações nos índices de separabilidade ($Is = 39,74\%; 38,46\% \text{ e } 36,53\%$, respectivamente). O pior canal "ratio" na análise visual foi o 5/6, com 23% de Id e apenas 38% do Is .

Também no caso dos "ratios", os resultados da análise visual são compatíveis com a ordenação segundo o primeiro critério por distâncias JM (ver Tabela 3), o que indica ser este critério bem mais poderoso e realístico na ordenação de melhores subconjuntos de canais na discriminação litológica. As discrepâncias observadas na indicação do terceiro melhor canal (6/7 pela análise visual e 4/7 pelo primeiro critério JM) podem ser explicadas por variações no cômputo geral, ligadas a não consideração da classe quartzito ferrífero na fotoanálise. Em se tratando do produto híbrido, os resultados da Tabela 4 são de modo geral convergentes, sendo indicado pelo primeiro critério JM o conjunto de canais 5/7, 7 e 4 e pela análise visual, o conjunto 5/7, 7 e 4 ou 4/5.

Nas Figuras 3, 4 e 5 são mostrados os canais MSS 4, 7 e 5/7, considerados as três melhores bandas para a composição híbrida.

FIGURAS 3, 4 e 5

Aceitando-se estes resultados como representativos de uma análise sobre o desempenho, em um teste prático, de discriminação visual de litologias, como complemento à pesquisa, buscou-se avaliar visualmente a performance das composições coloridas. Quatro produtos da época seca foram analisados: Composição Colorida Normal (bandas 4, 5 e 7 e cores azul, verde e vermelho, respectivamente), Composição Colorida Híbrida (bandas 5/7, 7 e 4 e cores azul, vermelho e verde, respectivamente), Composição Colorida "Ratio" (bandas 4/5, 5/7, 4/7 e cores vermelho, verde e azul, respectivamente) e Composição Colorida de Com

ponentes Principais* (1^a CP, 2^a CP e 3^a CP e cores azul negativo, vermelho e verde, respectivamente).

Para que a análise se revestisse de um caráter bem mais abrangente que as limitações de classes temáticas do Sistema SELATR, foram consideradas 26 classes temáticas na área teste, as quais representavam situações superficiais variadas, ligadas às unidades litológicas da Figura 2. Na Tabela 6 são indicadas as localizações das 26 classes consideradas no desempenho dos produtos coloridos.

TABELA 6

Da mesma forma que anteriormente, três fotointérpretes analisaram de modo independente os quatro produtos, segundo os Índices de detecção e separabilidade, dados por:

$$Id = \frac{n . 100}{26} \quad \text{e} \quad Is = \frac{n . 100}{650}$$

A Tabela 5 mostra os resultados obtidos nas ordenações. Destes dados, conclui-se que os desempenhos das composições Normal e Híbrida são equivalentes, com a ressalva de ser o produto Híbrido superior na discriminação de grandes unidades e a composição Normal ser mais eficiente no contraste tonal de detalhes (mafítos, cárlico-silicáticas, etc.). Por outro lado, comprovou-se a superioridade dos Componentes Principais em relação à Composição Colorida "Ratio". Pode-se afirmar que as informações extraídas do realce pelas Componentes Principais complementam em muitos aspectos, e comprovam em outros, os contrastes mostrados nas Composições Híbrida e Normal.

* Componentes Principais = transformação linear ortogonal C, tal que $Y = Cx$, sendo que x é um canal (variável) original MSS, C é uma matriz de transformação linear $q \times p$, onde $q \leq p$; e Y é o novo canal ou Componente Principal obtido. C é a matriz de transformação ou matriz dos autovetores obtida à partir da Matriz de Covariância das bandas originais.

CONCLUSÕES

Os resultados fornecidos pela utilização de critérios de seleção de atributos espectrais na indicação de melhores canais para combinações coloridas confirmaram as expectativas prévias. O primeiro critério, utilizando da Distância JM, mostrou-se mais adequado e exprimiu realisticamente a potencialidade da técnica como uma alternativa eficiente na seleção de bandas em abordagens multicanais de discriminação de rochas e solos, como as que ocorrerão com os dados do TM-LANDSAT 5 (7 novas bandas de melhor resolução espacial e radiométrica). Em relação ao segundo critério, o baixo desempenho mostrado desaconselha sua utilização, pelo menos em condições similares às da área de pesquisa. Levando em conta, também, o custo computacional mais elevado para a obtenção dos produtos híbridos, bem como o baixo desempenho dos "ratios", sugere-se o uso do par "Composição Colorida Normal + Composição Colorida de Componentes Principais", como o mais adequado a propósitos de discriminação de rochas e seus produtos de alteração, de ambientes tropicais semi-áridos e de pouco relevo, semelhante ao da área de pesquisa.

AGRADECIMENTOS

O autor expressa seus agradecimentos aos companheiros do INPE/SJC, Dr. Icaro Vitorello, Paulo Roberto Meneses, pelo auxílio visual nas fotoanálises dos realces e Luciano Vieira Dutra pelas sugestões e revisão crítica do texto.

REFERÊNCIAS BIBLIOGRÁFICAS

- ALMEIDA, F.F.M. - 1981 - "O craton do Paramirim e suas relações com o do São Francisco". In: SIMPÓSIO SOBRE O CRATON DO SÃO FRANCISCO E SUAS FAIXAS MARGINAIS; Salvador, Anais, SME/CPM/SBG; p. 1-10.

ALMEIDA, F.F.M.; HASUI, Y.; BRITO NEVES, B.B.; FUCK, R. - 1981 -
Brazilian structural provinces: An introduction; Earth Science Review, 17:1-29.

BLODGET, H.W.; GUNTHER, F.J.; PODWYSOCKI, M.H. - 1978 - Discrimination of rocks types and alteration products in South Western Saudi-Arabia with computer enhancements of LANDSAT data. USA, NASA, 34p. (NASA Tech. Pap. 1327).

DELGADO, I.M.; SOUZA, J.D. - 1975 - "Projeto Cobre-Curaçá - Relatório Final - Geologia Econômica do Distrito Cuprífero do Rio Curaçá, Bahia, Brasil". Convênio DNPM-CPRM, Salvador, CPRM, 30 volumes.

DUTRA, L.V. - 1982 - Extração de Atributos Espaciais em Imagens Multi espetrais. Dissertação de Mestrado, INPE/CNPq - São José dos Campos. 86 p. (relatório INPE-2315-TDL/078).

FOLK, L. - 1951 - A comparison chart for visual percentage estimation. Journal of Sedimentary Petrology, 21(1):32-33.

GENERAL ELETRIC - 1975 - Image 100 User Manual. Flórida, 119p.

IÍ, F.A.M.; DUTRA, L.V.; MENDES, C.L. - 1982 - "Comparação entre os métodos de Entropia e Jeffreys - Matusita em problemas de seleção de atributos". In: SIMPÓSIO BRASILEIRO DE SENSORIAMENTO REMOTO, 2. Brasília, Anais. INPE/CNPq p. 621-627.

JARDIM DE SÁ, E.F.; MC REATH, I.; BRITO NEVES, B.B.; BARTELS, R.L. - 1976 - "Novos dados geocronológicos sobre o craton do São Francisco no Estado da Bahia. In: CONGRESSO BRASILEIRO DE GEOLOGIA, 29. Ouro Preto, Anais, Belo Horizonte, SBG, vol. 4, p. 185-204.

JORDAN, H. - 1968 - "O calcário Bambui e o Grupo Canudos na região de Curaçá, Bahia". Recife SUDENE, p. 59-63 (Boletim de Estudos, nº 4, SUDENE).

LADEIRA, E.A.; BROCKES JR., H. - 1969 - "Geologia das Quadrículas de Poço de Fora, Esfomeado, Tanque Novo e Lages, Distrito Cuprífero do Rio Curaçá, Bahia". R. de Janeiro, DNPM., 2 v. (Relatório DNPM, 116).

**AVALIAÇÃO DE CRITÉRIOS DE SELEÇÃO DE ATRIBUTOS ESPECTRAIS DE
IMAGENS DIGITAIS MSS-LANDSAT EM DISCRIMINAÇÕES LITOLOGICAS
NO BAIXO VALE DO RIO CURAÇÁ, BA.**

Waldir Renato Paradella

**Conselho Nacional de Desenvolvimento Científico e Tecnológico - CNPq
Instituto de Pesquisas Espaciais - INPE
C. P. 515 - 12200 - São José dos Campos - SP - Brasil**

05 FIGURAS

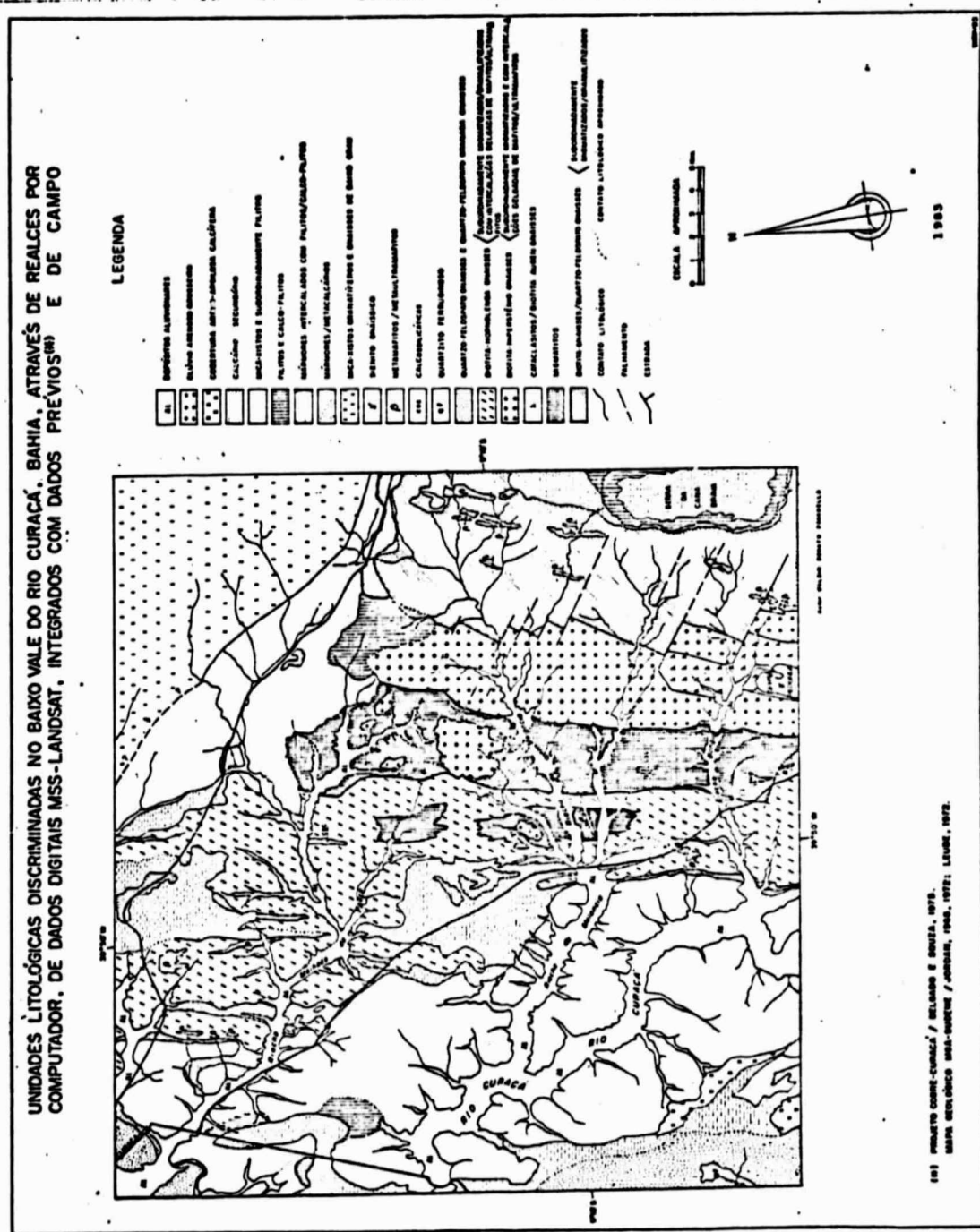
06 TABELAS

LISTA DE TABELAS

- 1 - Dados relativos às classes temáticas utilizadas no teste com o sistema SELATR.
- 2 - Primeiro e segundo critérios JM para os 4 canais originais MSS -LANDSAT.
- 3 - Primeiro e segundo critérios JM para os 6 canais MSS "ratios" LANDSAT.
- 4 - Primeiro e segundo critérios JM para os 4 canais MSS originais e os 6 "ratios" do LANDSAT.
- 5 - Análise ao desempenho visual dos 4 canais originais, "ratios" e composições coloridas na discriminação litológica de classes da Figura 2.
- 6 - Localização aproximada das classes temáticas consideradas na análise visual das composições coloridas.

LISTA DE FIGURAS

- 1 - Unidades litológicas discriminadas no Baixo Vale do Rio Curaçá, Bahia, através de realces por computador de dados digitais MSS-LANDSAT, integrados com dados prévios e de campo.
- 2 - Localização das 14 classes temáticas, com suas respectivas áreas de amostragens para o teste de seleção de atributos com o programa SELATR.
- 3 - Canal 4 do MSS-LANDSAT realçado por Ampliação Linear de Contraste (intervalo digital de ampliação 32-80).
- 4 - Canal 7 do MSS-LANDSAT realçado por Ampliação Linear de Contraste (intervalo digital de ampliação 32-112).
- 5 - Canal MSS 5/7 realçado por Ampliação Linear de Contraste (intervalo digital de ampliação 80-192; ganho 200, "offset" 50).



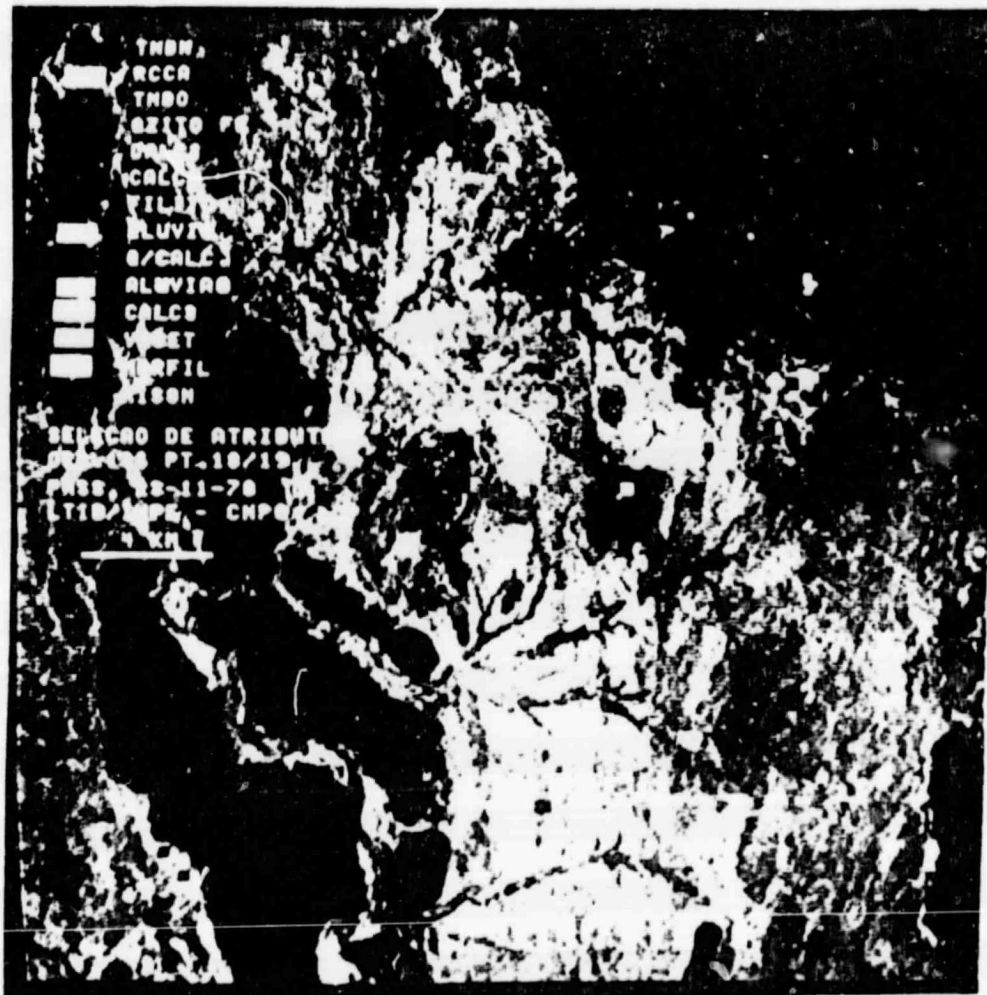


Fig. 2 - Localização das 14 classes temáticas, com suas respectivas áreas de amostragens para o teste de seleção de atributos com o programa SELATR.

- PARADELLA, W.R.; VITORELLO, I. - 1982 - "Sensores Remotos na Geologia: tendência atual e perspectivas futuras com dados de satélite". Ciências da Terra, 5:19-23.
- PARADELLA, W.R. - 1983 - "Discriminação de Unidades Litológicas no Baixo Vale do Rio Curaçá (Bahia), Através de Realces por Processamento Digital de Dados MSS-LANDSAT 3". Tese de Doutoramento, IGUSP, São Paulo, 233p.
- PODWYSOCKI, M.H.; GUNTHER, F.S.; BLODGET, H. - 1977 - Discrimination of rock and soil types by digital analysis of LANDSAT data. Maryland, Goddard Space Flight Center, GSFC-X-923-77-17 p.
- RIBEIRO, E.A.; II, F.A.M.; MOREIRA, J.C.; DUTRA, L.V. - 1982 - Manual do usuário dos sistemas de tratamento de imagens digitais. LTID-INPE/CNPq. São José dos Campos, 158 p.
- ROWAN, L.C.; WETLAUFER, P.H.; GOETZ, A.F.H.; BILLINGSLEY, F.C.; STEWART, J.H. - 1974 - Discrimination of rock types and detection of hydrothermally altered areas in South Central Nevada by the use of computer-enhanced ERTS Image. Washington, USGS, Professional Paper, 35 p. (USGS Prof. Pap. 883).
- SIEGAL, B.S.; GOETZ, A.F.H. - 1977 - Effect of vegetation on rock and soil type discrimination. Photogrammetric Engineering and Remote Sensing, 43(2):191-196.
- SWAIN, P.H. - 1978 - Fundamentals of pattern recognition in remote sensing. In: Swain and Davis (eds.) Remote Sensing: the quantitative approach, Mc. Graw Hill Int. Book Co, New York, cap. 3 p. 136-187.
- SWAIN, P.H.; KING, R.C. - 1973 - "Two effective feature selection criteria for multispectral remote sensing. W. Lafayette. Purdue University (LARS Information note 042673).



Fig. 3 - Canal 4 do MSS-LANDSAT realçado por Ampliação Linear de Contraste (intervalo digital de ampliação 32-80).

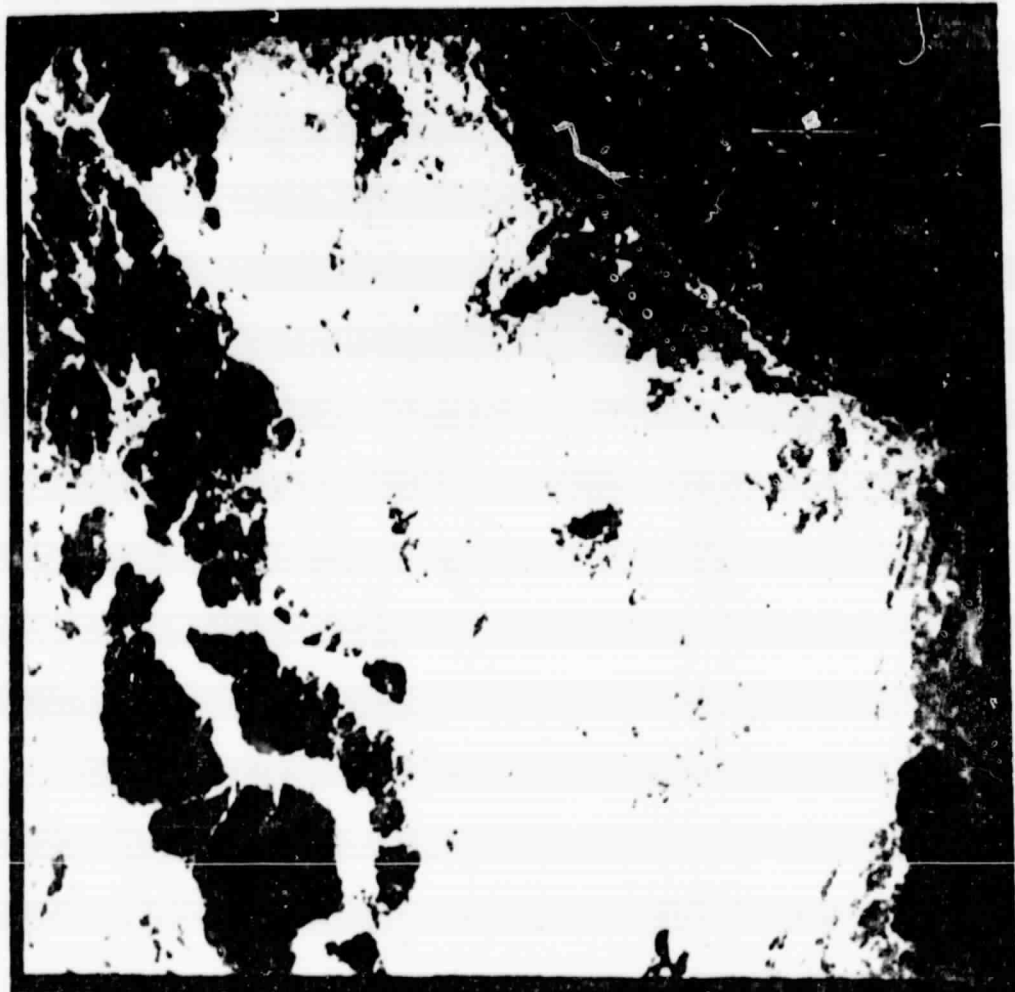


Fig. 4 - Canal 7 do MSS-LANDSAT realçado por Ampliação Linear de Contraste (intervalo digital de ampliação 32-112).



Fig. 5 - Canal MSS 5/7 realçado por Ampliação Linear de Contraste
(intervalo digital de ampliação 80-192; ganho 200,
"offset" 50).

TABELA 1 - DADOS RELATIVOS ÀS CLASSES TEMÁTICAS UTILIZADAS NO TESTE COM O SISTEMA SELATR

Classe Temática	Associação litológica correspondente	Condições superficiais. Estimativa de recobrimento através da sombra da copa vegetal (com folhagem), relativa à área de 0,62 ha ("pixel"). Estimativas de recobrimento do solo por fragmentos de rochas. (Tabela de Folk, 1951).
TNBN	biotita-gnaïsses; biotita-hiperstenio-gnaïsses; biotita-hornblenda-gnaïsses, constantes intercalações de maficas/ultramáficas.	Vegetação caducifólia (Catingueiras e Pereiros predominantemente) = 10 a 30%. Solos residuais (Bruno Não-Cálcico Vértico predominante) com 30% de blocos de rochas e fragmentos de quartzo.
TNBO	quartzo-feldspato gnaïsses, quartzo-granada gnaïsses	Vegetação caducifólia (Catingueiras e Pereiros) = 30%. Solos residuais (Planossolo Vértico predominante). Blocos de rochas = quase ausente.
RCCA	migmatitos estromáticos, migmatitos "folded", granitoides	Vegetação caducifólia (Catingueiras e Pereiros) = 10 a 30%. Solos residuais (Bruno Não-Cálcico Vértico Planossólico, Bruno Não-Cálcico Planossólico Vértico, Bruno Não-Cálcico Orto) com 30% de blocos de rochas. Fragmentos de quartzo.
QTZITO FE	quartzito ferruginoso (lentes)	Vegetação ausente. Material residual oxidado mais fragmentos de rochas.
CALC 1	calcário secundário (Fm. Caatinga)	Vegetação caducifólia (marmeiro e catingueiras) = 60%. Substrato com blocos cinzentos escuros (placas) de calcários secundário com muito pouca quantidade de fragmentos de quartzo.
CALC 2	mármore; calcários metamórfico	Solo (Latossolo Amarelo Eutrófico) exposto, sem vegetação.
CALC 3	mármore	Lajados extensos de mármore cinzentos.
FILITO	filitos	Solo (Litólico) residual do filito com pequenas plaquetas de material pelítico, ausência de vegetação.
ELUVIOS	depósitos de eluvios arenosos/grosseiros	Exposição de seixos arredondados escuros de quartzo (predominantes), com alguns fragmentos de rochas. Ausência de vegetação.
Q/CALC	cobertura quaternária calcífera	Solo exposto de caliche (precipitado de carbonatos, argilo minerais e matéria orgânica). Ausência de vegetação.
MARFIL	filitos predominantes; mármore intercalados	Vegetação caducifólia (Catingueiras, Quebra-facadas, Marmeiro) = 60 a 80%. Solos (Planossolo) capeados por fragmentos de rochas e seixos de quartzo tingidos por óxido de ferro.
XISGN	micaxistos granatíferos predominantes; gnaïsses (baixo grau)	Vegetação caducifólia (Carquejas, Juremas, Catingueiras, Faxeiros e Quebra-facadas = 80 a 90%. Solos (Planossolo) capeados por fragmentos de rochas (predominantes) e seixos de quartzo com óxidos de ferro.
ALUVIAO	depósitos aluvionares nas calhas de drenagens	Solos arenosos mais matações de rochas, sem vegetação.
VEGET.	depósitos aluvionares nas calhas de drenagens	Vegetação perene fólia (Juazeiros, Catingueiras) predominantes. Quase ausência de exposição de solo.

TABELA 2 - PRIMEIRO E SEGUNDO CRITÉRIOS JM PARA OS 4 CANAIS ORIGINAIS MSS LANDSAT

Ordenação das distâncias JM ² médias nos 4 melhores subconjuntos de canais que maximizam a distância JM ² média	Notação de Canais	Notação de Classes
CANAIS: 1 2 4 D JM ² MÉDIA = 1,8731	1 : MSS 4	1. TNBN 2. RCCA 3. TNBO 4. QTZITO
CANAIS: 1 3 4 D JM ² MÉDIA = 1,8300	2 : MSS 5	5. CALC 1 6. CALC 2 7. FILITO
CANAIS: 1 2 3 D JM ² MÉDIA = 1,8209	3 : MSS 6	8. ELÓVIO 9. QC
CANAIS: 2 3 4 D JM ² MÉDIA = 1,8160	4 : MSS 7	10. ALUVIÃO 11. CALC 3 12. VEGET 13. MARFIL 14. XISGN

Ordenação das distâncias JM ² mínimas nos 4 melhores subconjuntos de canais que maximizam a mínima distância JM ² no subconjunto para um dado par de classes	Notação de Canais	Notação de Classes
CANAIS: 1 2 3 D JM ² MÍNIMA = 0,50776 CLASSES: 3 e 11	1 : MSS 4	1. TNBN 2. RCCA 3. TNBO 4. QTZITO
CANAIS: 1 3 4 D JM ² MÍNIMA = 0,48432 CLASSES: 3 e 11	2 : MSS 5	5. CALC 1 6. CALC 2 7. FILITO
CANAIS: 2 3 4 D JM ² MÍNIMA = 0,31105 CLASSES: 2 e 9	3 : MSS 6	8. ELÓVIO 9. QC 10. ALUVIÃO
CANAIS: 1 2 4 D JM ² MÍNIMA = 0,29679 CLASSES: 3 e 11	4 : MSS 7	11. CALC 3 12. VEGET 13. MARFIL 14. XISGN

TABELA 3 - PRIMEIRO E SEGUNDO CRITÉRIOS JM PARA OS 6 CANAIS MSS "RATIOS" LANDSAT

Ordenação das Distâncias JM^2 médias nos 6 melhores subconjuntos de canais que maximizam a Distância JM^2 média	Notação de Canais	Notação de Classes
CANAIS: 1 3 5 D_{JM^2} MÉDIA = 1,6369	1 : MSS 4/7	1. TNBN 2. RCCA
CANAIS: 2 3 5 D_{JM^2} MÉDIA = 1,6211	2 : MSS 4/6	3. TNBO 4. QTZITO
CANAIS: 1 2 5 D_{JM^2} MÉDIA = 1,6190	3 : MSS 4/5	5. CALC 1 6. CALC 2
CANAIS: 3 4 5 D_{JM^2} MÉDIA = 1,6182	4 : MSS 5/6	7. FILITO 8. ELÓVIO
CANAIS: 2 4 5 D_{JM^2} MÉDIA = 1,6179	5 : MSS 5/7	9. QC 10. ALUVIÃO
CANAIS: 1 4 5 D_{JM^2} MÉDIA = 1,6171	6 : MSS 6/7	11. CALC 3 12. VEGET. 13. MARFIL 14. XISGN

Ordenação das Distâncias JM^2 mínimas nos 6 melhores subconjuntos de canais que maximizam a mínima Distância JM^2 no subconjunto, para um dado par de classes	Notação de Canais	Notação de Classes
CANAIS: 1 2 6 D_{JM^2} MÍNIMA = 0,48735 CLASSES: 4 e 10	1 : MSS 4/7	1. TNBN 2. RCCA
CANAIS: 2 3 5 D_{JM^2} MÍNIMA = 0,37058 CLASSES: 1 e 10	2 : MSS 4/6	3. TNBO 4. QTZITO
CANAIS: 2 5 6 D_{JM^2} MÍNIMA = 0,36390 CLASSES: 1 e 10	3 : MSS 4/5	5. CALC 1 6. CALC 2
CANAIS: 2 4 5 D_{JM^2} MÍNIMA = 0,36079 CLASSES: 1 e 10	4 : MSS 5/6	7. FILITO 8. ELÓVIO 9. QC
CANAIS: 1 2 3 D_{JM^2} MÍNIMA = 0,35999 CLASSES: 4 e 13	5 : MSS 5/7	10. ALUVIÃO 11. CALC 3
CANAIS: 2 4 6 D_{JM^2} MÍNIMA = 0,35991 CLASSES: 1 e 10	6 : MSS 6/7	12. VEGET. 13. MARFIL 14. XISGN

TABELA 4 - PRIMEIRO E SEGUNDO CRITÉRIOS JM PARA OS 4 CANAIS MSS ORIGINAIS
E OS 6 "RATIOS" DO LANDSAT

Ordenação da Distância JM^2 Médias nos 6 melhores subconjuntos de canais que maximizam a Distância JM^2 Média	Notação de Canais	Notação de Classes
CANAIS: 1 4 9 $D JM^2$ MÉDIA = 1,8733	1 : MSS 4 2 : MSS 5	1. TNBN 2. RCCA
CANAIS: 4 7 9 $D JM^2$ MÉDIA = 1,8732	3 : MSS 6 4 : MSS 7	3. TNBO 4. QTZITO
CANAIS: 1 2 4 $D JM^2$ MÉDIA = 1,8731	5 : MSS 4/5 6 : MSS 4/6	5. CALC 1 6. CALC 2
CANAIS: 2 4 7 $D JM^2$ MÉDIA = 1,8730	7 : MSS 4/7 8 : MSS 5/6	7. FILITO 8. ELÓVIO
CANAIS: 4 5 9 $D JM^2$ MÉDIA = 1,8728	9 : MSS 5/7 10 : MSS 6/7	9. QC 10. ALUVIÃO
CANAIS: 2 4 5 $D JM^2$ MÉDIA = 1,8727		11. CALC 3 12. VEGET 13. MARFIL 14. XISGN

Ordenação das Distâncias JM^2 mínimas nos 6 melhores subconjuntos de canais que maximizam a mínima Distância JM^2 no subconjunto, para um dado par de classes	Notação de Canais	Notação de Classes
CANAIS: 1 3 5 $D JM^2$ MÍNIMA = 0,84014 CLASSES: 3 e 11	1 : MSS 4 2 : MSS 5 3 : MSS 6	1. TNBN 2. RCCA 3. TNBO
CANAIS: 3 6 9 $D JM^2$ MÍNIMA = 0,66165 CLASSES: 3 e 11	4 : MSS 7 5 : MSS 4/5	4. QTZITO 5. CALC 1
CANAIS: 1 3 9 $D JM^2$ MÍNIMA = 0,64430 CLASSES: 3 e 11	6 : MSS 4/6 7 : MSS 4/7 8 : MSS 5/6	6. CALC 2 7. FILITO 8. ELÓVIO
CANAIS: 1 6 9 $D JM^2$ MÍNIMA = 0,63570 CLASSES: 3 e 11	9 : MSS 5/7 10 : MSS 6/7	9. QC 10. ALUVIÃO 11. CALC 3
CANAIS: 4 5 8 $D JM^2$ MÍNIMA = 0,62248 CLASSES: 8 e 14		12. VEGET 13. MARFIL 14. XISGN
CANAIS: 3 7 9 $D JM^2$ MÍNIMA = 0,62033 CLASSES: 3 e 11.		

TABELA 5 - ANÁLISE DO DESEMPENHO VISUAL DOS 4 CANAIS ORIGINAIS, "RATIOS"
E COMPOSIÇÕES COLORIDAS NA DISCRIMINAÇÃO LITOLÓGICA
DE CLASSES DA FIGURA 2.

PRODUTO	Id (%)	Is (%)
MSS 4	76,92	51,28
MSS 5	76,92	50,00
MSS 6	76,92	46,15
MSS 7	84,60	56,52
MSS 4/5	76,92	51,28
MSS 4/6	69,23	36,53
MSS 4/7	69,23	38,46
MSS 5/6	23,00	3,80
MSS 5/7	84,60	66,60
MSS 6/7	69,23	39,74
COMPOSIÇÃO COLORIDA NORMAL	96,15	89,84
COMPOSIÇÃO COLORIDA HÍBRIDA	96,15	89,23
COMPOSIÇÃO COLORIDA COMPONENTES PRINCIPAIS	84,61	65,23
COMPOSIÇÃO COLORIDA "RATIO"	73,00	46,15

TABELA 6 - LOCALIZAÇÃO APROXIMADA DAS CLASSES TEMÁTICAS CONSIDERADAS NA ANÁLISE VISUAL DAS COMPOSIÇÕES COLORIDAS

CLASSE TEMÁTICA	LOCALIZAÇÃO APROXIMADA (REF. FIGURA 1)
Classe 1 - cobertura calcífera	Borda SW da área teste
Classe 2 - depósito de elúvio	Corpo maior, centro de área teste
Classe 3 - drenagem por vegetação perenofólia	Riacho da Melância
Classe 4 - depósitos de aluvião	Rio Curaçá
Classe 5 - calcário caatinga	Corpo maior, centro da área-teste
Classe 6 - quartzito ferrífero	Borda SW da área-teste
Classe 7 - corpo cárlico-silicatado	Corpo N-S truncando afluente direito do Riacho Malhado da Pedra
Classe 8 - anfibolitos	Dois corpos, 1 km ao norte do Riacho Banguê
Classe 9 - corpo de mafito-ultramafito	Corpo maior 1 km NW da Serra Cana Brava
Classe 10 - gábro (dique)	Corpo NE, 1 km ao sul do Riacho Melância
Classe 11 - filito	Borda da Serra da Cana Brava
Classe 12 - filito	Cabeceiras direita do Riacho Melância
Classe 13 - filito	Corpo alongado cortado por estrada, norte da área-teste
Classe 14 - xisto-gnaissse (baixo grau)	Região extensa, NE área-teste
Classe 15 - filito/xisto	Faixa marginal à anterior, NE da área-teste
Classe 16 - mármore com filito intercalado	Extremo oriental da área-teste
Classe 17 - mármore	Borda ocidental da área-teste
Classe 18 - mármore	Região extensa, no centro da área-teste
Classe 19 - mármore	Região extensa, no norte da área-teste
Classe 20 - cataclasto félscico	Borda da Serra Redonda
Classe 21 - sienito-gnaissificado	Serra Redonda
Classe 22 - quartzo feldspato gnaissse	Faixa marginal no W da área-teste
Classe 23 - granulitos (hiperstênio-hornblendas-gnaisses)	Faixa ocidental com orientação N-S
Classe 24 - quartzo-feldspato-biotita-gnaisses	Extremo oriental, adjacente à anterior
Classe 25 - migmatitos	Faixa alongada central da área-teste
Classe 26 - migmatitos com faixas pegmatíticas	Cabeceiras do Riacho Banguê